

# 行政院國家科學委員會專題研究計畫 成果報告

## 球體與平面之吸引及彈性接觸之數值分析

計畫類別：個別型計畫

計畫編號：NSC91-2212-E-034-001-

執行期間：91年08月01日至92年07月31日

執行單位：中國文化大學機械工程學系

計畫主持人：吳俊仲

計畫參與人員：張曉芬

報告類型：精簡報告

處理方式：本計畫可公開查詢

中 華 民 國 92 年 10 月 21 日

## 摘要

本研究提出在直角座標系求解吸引接觸力的方法。使用 FFT 可計算矩陣相乘，然後使用 preconditioned inexact Newton-Bi-CGSTAB (bi-conjugate stabilized) method 與 path following method 等方法，可以在直角座標系上求解球體與平面之彈性吸引接觸力。結果發現，在 Tabor parameter  $\mu$  小於 1 時，不必使用 preconditioner，且個人電腦可以求解；在  $\mu$  大於等於 1 時，必須使用 preconditioner，且需使用大型電腦。在未來此項結果可推廣至其他形態表面之彈性吸引接觸力。

**關鍵詞：** 吸引力、接觸力

## Abstract

A numerical method for adhesive contact in rectangular coordinate is proposed. By using Fast Fourier Transform (FFT), the matrix multiplication can be performed. Then, using preconditioned inexact Newton-Bi-CGSTAG (bi-conjugate stabilized) method and the path following method, the adhesive contact for the contact between a sphere and a plane can be solved. For Tabor parameter  $\mu$  less than one, it is not necessary to use the preconditioner, and this problem can be solved by a personal computer. For Tabor parameter  $\mu$  greater than and equal to one, it is necessary to use the preconditioner and it is necessary to use a large computer. With this method, the adhesive contact for any arbitrary types of surfaces can be obtained.

**Keywords:** Adhesion, Contact force

# 球體與平面之吸引及彈性接觸之數值分析

吳俊仲

中國文化大學 機械工程學系

國科會計劃編號：NSC 91-2212-E034-001

## 1. Introduction

### 1.1 前言

微奈米接觸的研究有兩派作法。第一種採用連續力學的方法，加入奈米級的吸引力分析，第二種使用分子動力學的理論。兩種作法各有其適用的範圍。Miesbauer 等人[1]發現，5nm 以上的微奈米表面接觸，可以使用連續力學來作模擬；較小尺寸的接觸則必須使用分子動力學來分析。本研究係針對連續力學的方法來分析。

### 1.2 文獻探討

連續力學的吸引彈性力學分析，多限於球體的接觸分析。早期的學者在多以數學推導出解析解。例如：1970 年，Johnson 等人提出的 JKR model [2]，1975 年 Derjaguin 等人提出的 DMT model[3]。經過十餘年，在 1992 年，Maugis 使用 Dugdale model，找出整合兩種 model 的解析解[4]。但是解析解在數學上都作了某些方面的簡化，所以只是近似解。

在數值解方面，在 1992 年，Attard 等人[5]使用 Lennard Jones Law，提出數值方法分析。1997 年 Greenwood [6]有進一步的研究。Feng[7]於 2000 年提出更詳盡且較佳數值解。Johnson 等人更對彈塑性物體的吸引接觸力進行分析[8]。大體來說，國際上在這方面的研究，有相當的成果，但是由於是計算球與平面之力，為簡化計算，都採用軸對稱的公式來計算。因此，這方面的數值分析方法無法推廣至其他形狀。

### 1.3 研究目的

若要研究其他形狀之接觸，例如橢球、粗糙表面之接觸，無可避免地，一定要用於直角座標的分析。但在這方面，至今仍沒有任何研究成果。本研究就是要提出直角座標的方法，並以球體的彈性吸引接觸力作為驗證。一旦成功，未來就可推廣至其他形狀的吸引接觸力分析。

## 2. 數學模式

### 2.1 Displacement Due to Force

首先，我們先導出球體接觸的吸引接觸力的數學式。當一個點作用力加於無限之半平面，其位移如下式[9]：

$$u_z = \frac{1-\nu}{2\pi G} \frac{P}{r}$$

其中， $P$  為作用力， $r$  為水平距離， $G$  為 modulus of elasticity in shear。因此，平面上所有的力，對  $(x, y)$  點所產生的位移如下式：

$$u_z(x, y) = \frac{1-\nu^2}{\pi E} \iint_{\Omega} \frac{p(x', y') dx' dy'}{\sqrt{(x-x')^2 + (y-y')^2}}$$

## 2.2 Displacement due to Adhesive Contact

兩球體接觸，在剛接觸時，兩球面的距離，用極座標表示，如下式：

$$h_0 = \frac{r^2}{2R_1} + \frac{r^2}{2R_2} = \frac{r^2}{2R}$$

其中  $\frac{1}{R} = \frac{1}{R_1} + \frac{1}{R_2}$

$R_1, R_2$  為兩球體的半徑。

$r$  為與對稱中心的距離。

因此，我們可把兩球接觸假設為一半徑為  $R$  之球體與一平面接觸。

球體與平面接近或接觸時，用直角座標表示，需滿足下式：

$$h = -\alpha + \varepsilon + \frac{x^2 + y^2}{2R} + \frac{1}{\pi E^*} \iint \frac{p(h) dx' dy'}{\sqrt{(x-x')^2 + (y-y')^2}} \quad (1)$$

其中，

$\alpha$  平面與球最低點的距離，零點為  $h = \varepsilon$ 。

$\varepsilon$  原子間的距離

$h$  球體與平面中線之距離

$$E^* \text{ 楊氏係數, } \frac{1}{E^*} = \frac{1-\nu_1^2}{E_1} + \frac{1-\nu_2^2}{E_2}$$

在微奈米接觸時，需考慮原子之間的作用力。根據 Lennard-Jones Law，原子間的作用力如下式[5]：

$$p(h) = \frac{8\Delta\gamma}{3\varepsilon} \left[ \left(\frac{\varepsilon}{h}\right)^3 - \left(\frac{\varepsilon}{h}\right)^9 \right] \quad (2)$$

對(1)與(2)式作無因次化，

$$H = \frac{h}{\varepsilon} - 1 \quad A = \frac{\alpha}{\varepsilon}$$

$$\mu = \left( \frac{R\Delta\gamma^2}{E^* \varepsilon^3} \right)^{1/3} \quad X = \frac{x}{\sqrt{\varepsilon R}} \quad Y = \frac{y}{\sqrt{\varepsilon R}}$$

則方程式(1)(2)可寫成

$$\begin{cases} H(X, Y) + A - \frac{X^2 + Y^2}{2} \\ + \frac{32\mu^{3/2}}{3\pi} \iint \frac{P(X', Y') dX' dY'}{\sqrt{(X - X')^2 + (Y - Y')^2}} = 0 \quad (3) \\ P(X, Y) = \left[ \frac{1}{(H+1)^3} - \frac{1}{(H+1)^9} \right] \end{cases}$$

另外，定義無因次合力為

$$W = \iint P dX dY = \Delta\gamma R \iint p(x, y) dx dy$$

### 2.3 Rectangular Analysis

在直角座標中，格點化後，假設每一方格中，力量均相同，則某點的位移可寫成

$$\begin{aligned} (\bar{u}_z)_i &= \frac{1-\nu^2}{\pi E} \sum_{k=1}^M \left\{ \iint_{\Omega} \frac{p(x', y') dx' dy'}{\sqrt{(x-x')^2 + (y-y')^2}} \right\} p_x \\ &= \sum_{k=1}^M C_{ki} p_k \end{aligned}$$

位移常數為[11]

$$\begin{aligned} C_{ki} &= \frac{1}{\pi E^*} \left\{ (x+a) \ln \left[ \frac{(y+b) + \sqrt{(y+b)^2 + (x+a)^2}}{(y-b) + \sqrt{(y-b)^2 + (x+a)^2}} \right] \right. \\ &\quad + (y+b) \ln \left[ \frac{(x+a) + \sqrt{(y+b)^2 + (x+a)^2}}{(x-a) + \sqrt{(y+b)^2 + (x-a)^2}} \right] \\ &\quad + (x-a) \ln \left[ \frac{(y-b) + \sqrt{(y-b)^2 + (x-a)^2}}{(y+b) + \sqrt{(y+b)^2 + (x-a)^2}} \right] \\ &\quad \left. + (y-b) \ln \left[ \frac{(x-a) + \sqrt{(y-b)^2 + (x-a)^2}}{(x+a) + \sqrt{(y-b)^2 + (x+a)^2}} \right] \right\} \quad (4) \end{aligned}$$

所以方程式(3)可寫成

$$\begin{cases} F(H_i) = H_i + A - \frac{(X_i^2 + Y_j^2)}{2} \\ + \frac{32\mu^{3/2}}{3\pi} \sum C_{ij} P_j \\ P_j = \left[ \frac{1}{(H_j+1)^3} - \frac{1}{(H_j+1)^9} \right] \end{cases} \quad (5)$$

本研究就是用疊代法解方程式(5)。

### 3. 研究方法

#### 3.1 FFT and Convolution

前述式(5)中矩陣  $\sum C_{ij}$  的太大，無法計算其乘積  $\sum C_{ij}P_j$ 。舉例而言，  
**256×256** 點之平面， $\sum C_{ij}$  有  $256^4 = 42,994,967,296$  個元素，太大了。但因為這  
 是接觸力，Liu[12]發現，可用 convolution 及 FFT 來解決。

假設  $z$  為  $x$  與  $y$  之 convolution，

$$z_i = \sum_{j=1}^N x_{i-j+1}y_j$$

則其 FFT 滿足下式

$$Z_n = X_n Y_n$$

舉例而言，If  $N = 4$

$$z_1 = x_1y_1 + x_4y_2 + x_3y_3 + x_2y_4$$

$$z_2 = x_2y_1 + x_1y_2 + x_4y_3 + x_3y_4$$

$$z_3 = x_3y_1 + x_2y_2 + x_1y_3 + x_4y_4$$

$$z_4 = x_4y_1 + x_3y_2 + x_2y_3 + x_1y_4$$

則

$$Z_1 = X_1Y_1 \quad Z_2 = X_2Y_2 \quad Z_3 = X_3Y_3 \quad Z_4 = X_4Y_4 \quad \text{在接觸的問題中，}$$

$$u_1 = C_0p_1 + C_1p_2 + C_2p_3 + C_3p_4$$

$$u_2 = C_1p_1 + C_0p_2 + C_1p_3 + C_2p_4 \quad (6)$$

$$u_3 = C_2p_1 + C_1p_2 + C_0p_3 + C_1p_4$$

$$u_4 = C_3p_1 + C_2p_2 + C_1p_3 + C_0p_4$$

我們可以加上一些 0 的數值，假設出一新的數列

$$R = \{p_1, p_2, p_3, p_4, \mathbf{0}, \mathbf{0}, \mathbf{0}, \mathbf{0}\}$$

$$S = \{C_0, C_1, C_2, C_4, \mathbf{0}, C_3, C_2, C_1\} \quad (7)$$

$$T = \{u_1, u_2, u_3, u_4, u_5, u_6, u_7, u_8\}$$

則  $T$  是  $R$  與  $S$  兩矩陣的 convolution，因此，使用 FFT，(6)式便直接可以計算出來。

$$FFT(\mathbf{T}) = FFT(\mathbf{R}) \cdot FFT(\mathbf{T})$$

由文獻中知[13]，convolution 僅需  $N \log N$  次計算，記憶體不必增加，計算數減少。因此矩陣相乘變得可以計算。

上述結果，可以推廣到二維的計算當中。若

$$u_i = \sum C_{ij}P_j$$

則

$$\mathbf{U} = IFFT\{FFT(\mathbf{C}) \cdot FFT(\mathbf{P})\}$$

其中  $C$ ,  $P$  為類似(7)式之二維數列。由此式, (5)中矩陣乘積  $\sum C_{ij}P_j$  便可算出。

### 3.2 Inexact Newton-Bi-CGSTAB Method

#### 3.2.1 Inexact Newton Method

一般而言, 一非線性方程式,

$$F_i(h_1, h_2, \dots, h_N) = 0 \quad i = 1, 2, \dots, N$$

則

$$\mathbf{F}(\mathbf{h} + \delta\mathbf{h}) = \mathbf{F}(\mathbf{h}) + \mathbf{J} \cdot \delta\mathbf{h} + O(\delta\mathbf{h}^2)$$

其中,  $\mathbf{J}$  為 Jacobian,  $J_{ij} \equiv \frac{\partial F_i}{\partial h_j}$

牛頓法就是依上述的性質導出, 如下:

start: initial guess  $H_0$

do while  $|F(H_n)| > \varepsilon$

solve  $dH = -J^{-1}(H_n)F(H_n)$

$H_{n+1} = H_n + dH$

end do

然而(5)式中, 不可能求出 Jacobian, 因此, 需用 inexact Newton method 來求解。

Inexact Newton method[14]與 Newton Raphson method 非常類似。但是使用這個方法不必求 Jacobian。所以若 Jacobian 無法求得, 或其反矩陣無法求得時, 可以用這個方法。方法如下:

start: initial guess  $H_0$

find  $F(H_0)$

Outer iteration: do while  $|F(H_n)| > \varepsilon$

inner iteration: find  $dH$  which satisfies

$$F'(H_n)dH = -F(H_n) + R_k \quad \text{where} \quad \|R_k\| / \|F(H_n)\| \leq \eta_k$$

end of inner iteration

$H_{n+1} = H_n + dH$

find  $F(H_{n+1})$

end do

其中, inner iteration 不限定何種方法。目前有很多種方法發展出來, 下一小節所說的 Bi-CGSTAB, 是其中之一。

#### 3.2.3 Bi-CGSTAB Method

解  $AX = B$  時, 若矩陣  $A$  過大, 無法直接求解時, 可用 Krylov space method

來求解，這類的方法是使用疊代法求解，不必求任何反矩陣，也不必用高斯消去法，所以在僅能算出矩陣乘法時特別有用，在本研究中正好適用。其中若矩陣  $A$  是 non-symmetric，則可用 Bi-CGSTAB 法[15]。Bi-CGSTAB 源自 Optimization 中的 conjugate gradient。在 Inexact Newton method 中的 inner iteration，解  $F'(H_n)dH = -F(H_n)$  時，正好可以使用。

Bi-CGSTAB 解  $AX = B$  方法如下：

Initial guess  $X_0$ ,  $R_0 = B - AX_0$

$$\text{set } \hat{R}_0 = R_0$$

$$\rho_0 = \alpha = \omega_0 = 1$$

$$V_0 = P_0 = \mathbf{0}$$

for  $i = 1, 2, 3, \dots$

$$\rho_i = (\hat{R}_0, R_0), \quad \beta = (\rho_i / \rho_{i-1})(\alpha / \omega_{i-1})$$

$$P_i = R_{i-1} + \beta(P_{i-1} - \omega_{i-1}V_{i-1})$$

$$V_i = AP_i$$

$$\alpha = \rho_i / (\hat{R}_0, V)$$

$$S = R_{i-1} - \alpha V_i$$

$$T = AS$$

$$\omega_i = (T, S) / (T, T)$$

$$X_i = X_{i-1} + \alpha P_i + \omega_i S$$

if  $X_i$  small enough, the quit.

$$R_i = s - \omega_i T$$

end

在每一個 inexact Newton method 的 inner iteration 中，假設  $A = F'(H_n)$ ， $B = -F(H_n)$ ， $X = dH$ ，則使用 Bi-CGSTAB 所求出的解正好是  $dH$ 。而求解的過程中， $AX$  與  $B$  均須用 FFT 來計算，可參閱 Appendix A。

### 3.2.4 Preconditioner

Bi-CGSTAB 雖可以解出上述的問題，但當矩陣並非 diagonally dominant 時，非常不容易收斂。這個時候，必須使用 preconditioner 來加速收斂[16]。

Precondition 的概念就是，當  $AX = B$  當中的  $A$ ，不是 diagonally dominant 時，找出  $M^{-1} \approx A$  則  $MA \approx I$ ，因此  $MAX = MB$  會比較容易求出解答。在本研究的求解過程中， $A = F'(H_n)$  這個矩陣很大，而且並非 diagonally dominant，因此需要找出 approximate inverse。

求 preconditioner 的方法很多，在本研究中，我們使用 Frobenius norm minimization method。這個方法是求出下式的最小值。

$$\min_{M \in S} \|I - AM\|_F \quad (8)$$

因為

$$\|I - AM\|_F^2 = \sum_{j=1}^n \|e_j - Am_j\|_2^2$$

其中  $e_j$  為單位矩陣的第  $j$  欄，因此，上述計算可簡化為  $n$  個 least-squares 的問題。

但在本研究中，因為  $A = F'(H_n)$  這個矩陣過大，不可能找出其近似反矩陣。因此，我們作若干簡化。因為  $A$  矩陣是來自接觸力對應變的影響，而每一點對該點與週遭四點的影響最大。因此，我們只取這五點的影響參數，矩陣的其它元素取為零，如此可形成一 five-diagonal 新矩陣(見 Appendix B)，對這新矩陣求其近似反矩陣  $M$  即可。為簡化計算，我們再假設  $M$  矩陣亦為 five-diagonal 的矩陣，經由(8)式的方法，可求出其近似反矩陣。此近似反矩陣可使  $MA$  變得比較 diagonally dominant，可加速求解。

由本研究發現，運用 preconditioner 可加速收斂達四倍以上，而且，在  $\mu \geq 1$  時，必須使用 preconditioner 方能收斂。

### 3.2.4 Keller's Path Following Method

前述的方法 preconditioned inexact Bi-CGSTAB method 可以解一般非線性問題時，但是如果所得之解有 bifurcation 的現象，見圖一，上述方法就不可行。這時可加入 Keller 的 path following method[7、17]來求解。這個方法的精神，是有已知之點來沿著解的線，去求下一點。

這個方法下，Keller 定義一個新的函數

$$N = H_s(s_0) \cdot [H(s) - H(s_0)] + A_s(s_0) \cdot [A(s) - A_s(s_0)] - (s - s_0) \quad (9)$$

則解下列方程式

$$\begin{bmatrix} F_H & F_A \\ N_H & N_A \end{bmatrix} \begin{bmatrix} \delta H \\ \delta A \end{bmatrix} = - \begin{bmatrix} F \\ N \end{bmatrix} \quad (10)$$

則沿曲線的每一小步，及其解可求得。

其步驟如下，先求

$$\frac{\partial F}{\partial A} = F_A = 1$$

再解  $H_A$

$$F'(H)H_A = -F_A(s_0) = -\mathbf{1}$$

則

$$N_A = A_s(s_0) = \pm[\mathbf{1} + H_A \cdot H_A]^{-1/2} \quad (11)$$

$$N_H = H_s = A_s H_A = N_A H_A \quad (12)$$

開始時，給一 $(s - s_0)$ 值，再求(9)式中之 $N$ ，然後解(10)式。

如 Feng[7]所述，對每個 inexact Newton iteration，可以解

$$F'(H)Y = F_A(s_0)$$

$$F'(H)Z = -F(s_0)$$

則

$$dA = \frac{N_H \cdot Z + N}{N_H \cdot Y - N_A}$$

$$dH = Z - dAY$$

### 3.2.5 Numerical Scheme

由上述各節的方法，綜合言之，本研究的方法如下：

1. 由(4)式，算出 $C_{ij}$ 。
2. 起始 $A$ ，起始 $\underline{H}_0 = \underline{U} - A$ ，到3。
3. 已知 $A$ ，用 Inexact Newton method 求解。
  - (1)起始值  $H_0, A_0$ 
    - 由 eq(5)算出 $F(H_0, A_0)$
    - 由 eq(8)找出 $M \approx F'(X_0)^{-1}$
  - (2)疊代直到 $H_n$ 收斂
    - 用 Bi-CGSTAB 與 preconditioner 解
    - a. 求  $MF'(H_n)dH = MF_A(s_0)$
    - b. 代入  $H_{n+1} = H_n + dH$
  - (3)到5。
4. 已知 $A$ ，用 path following method 及 Inexact Newton method 求解。
  - (1)起始值  $H_0, A_0$ 
    - 由 eq(5)算出 $F(H_0, A_0)$
    - 由 eq(9)算出 $N(H_0, A_0)$
    - 由 eq(11、12)算出  $N_A, N_H$
    - 由 eq(8)找出 $M \approx F'(X_0)^{-1}$
  - (2)疊代直到 $H_n, A_n$ 收斂
    - 用 Bi-CGSTAB 與 preconditioner 解
    - a. 求  $\begin{cases} MF'(H_n)Y = MF_A(s_0) \\ MF'(H_n)Z = -MF(s_0) \end{cases}$
    - b. 代入  $\begin{cases} dA = \frac{N_H \cdot Z + N}{N_H \cdot Y - N_A} \\ dH = Z - dAY \end{cases}$

$$c. \text{ 求得 } \begin{cases} H_{n+1} = H_n + dH \\ A_{n+1} = A_n + dA \end{cases}$$

d. 求  $F(X_{n+1}, A_{n+1})$ ,  $N(X_{n+1}, A_{n+1})$

(3) 到 5。

5. 如果遠離 turning point, 到 3。否則, 到 4。

#### 4. 結果與討論

本研究使用  $512 \times 512$  的格點, 面積取  $20 \times 20$ 。並與 Feng 的方法使用 1000 個格點, 面積為半徑 20 之圓作比較。兩者都使用均勻間距的格點。而  $\mu$  取 0.1、1 與 3。outer iteration 與 inner iteration 之收斂條件均設  $\max |\delta H_i| / \max |H_i|$  設  $10^{-6}$ 。

在  $\mu = 0.1$  的條件時, 我們從  $\alpha = -6$  開始求解, 下一點則設  $\alpha$  增加 0.05, 直到  $\alpha = 2$ 。在  $\mu = 1$  與 3 的條件時, 我們從  $\alpha = -6$ , 下一點設  $\alpha$  增加 0.2, 當發散時, 設  $\alpha$  的增加量變小, 當接近 turning points 時, 使用 path following method, 當遠離 turning points 時, 繼續使用 inexact Newton-Bi-CGSTAB method, 直到  $\alpha = 2$ 。在我們的計算中發現,  $\mu = 0.1$  時, 矩陣是 diagonally dominant, 因此並非必要使用 preconditioner。但在  $\mu \geq 1$  時, preconditioner 是必須的, 否則不能收斂。

本研究使用 IBM P690 平行電腦。序列程式與平行程式在本研究中均使用。在計算時發現, 最耗時的計算步驟是 FFT 與 preconditioning。寫 precondition 的平行副程式並不困難, 但是寫 FFT 的平行副程式就不容易了。一般而言, 要作 FFT 的平行計算, 可以使用商業軟體, 如 IMSL parallel library 或 NAG parallel library。但是在本研究中, 並未得到上述軟體, 因此由網路中向 Dr. Takahashi 得到 FFTE 副程式。計算時間列於 table 1。其中,  $\mu = 0.1$  沒有 preconditioner 的情形, 計算時間較短, 因此這個例子也使用 1.8GHz cpu、512M RAM 的個人電腦作測試。結果也列在 table 1 中。

圖一為合力  $W$  對  $\alpha$  的結果, 圖中包括本研究的結果與 Feng 的方法, 結果發現兩條線幾乎重合。圖二則是  $\mu = 1$  與  $\alpha = 0$  時, 球體的形狀。圖三是  $\mu = 1$  與  $\alpha = 0$  時的力量分佈。結果發現本研究的結果與 Feng 的方法的結果幾乎一模一樣, 細微的差別是因兩者的格點不同所致。這些結果顯示, 直角座標的數值分析為可行。

#### 4.2 Discussion

事實上, 本研究曾對  $\mu = 5$  作研究, 發現不易求解。首先, 計算時間太長, 在 IBM P690 電腦作序列計算 48 小時後, 仍無法完成。其次, 所算出的結果, 在合力  $W$  對  $\alpha$  的圖上, 線條在接近轉折點處有輕微抖動的現象。這是因為格點數不夠多所致。因此,  $\mu = 5$  應該是直角座標求解的極限。

未來對本研究的數值方法, 有可能的改進之道為: 使用不同的 preconditioning 技巧, 更有效率的平行 FFT 軟體, 或其他的 Krylov space method。

## 5. 結論

本研究使用 FFT、inexact Newton method 與 Bi-CGSTAB preconditioner path following method 等方法，在直角座標系上求解球體接觸的彈性吸引力。結果發現，與 Feng 的結果相似，為來可推廣至其他形狀的表面接觸。

在研究中發現，在  $\mu$  很小時，不一定要使用 preconditioner，但在  $\mu \geq 1$  時，preconditioner 是必需的， $\mu = 5$  是本研究的極限。

## Acknowledgements

本研究感謝高速網陸計算中心提供 IBM P690 電腦設備，並感謝 Dr. Daisuke Takahashi 提供 FFT 的副程式。

## Appendix A

在吸引接觸力分析時，我們求解下列方程式。

$$F_i(H) = H_i + A - \frac{X_i^2 + Y_i^2}{2} + \frac{32\mu^{3/2}}{3\pi} \sum C_{ij} \left[ \frac{1}{(H_j + 1)^3} - \frac{1}{(H_j + 1)^9} \right] \quad (\text{A.1})$$

在本研究中，我們使用 inexact Newton Bi-CGSTAB method 求解。在 inner iteration 中，用 Bi-CGSTAB 解下式：

$$\underline{\mathbf{J}}(\underline{\mathbf{H}}_n) \delta \underline{\mathbf{H}} = -\underline{\mathbf{F}}(\underline{\mathbf{H}}_n) + \underline{\mathbf{R}}_n \quad (\text{A.2})$$

其中，

$$\begin{aligned} \underline{\mathbf{J}}(\underline{\mathbf{H}}) &= \frac{F_i(H)}{\partial H_j} \\ &= \delta_{ij} + \frac{32\mu^{3/2}}{\pi} \sum C_{ij} \left[ -\frac{1}{(H_j + 1)^4} + \frac{3}{(H_j + 1)^{10}} \right] \end{aligned}$$

也就是說，

$$\frac{\partial F_i}{\partial H_j} = \begin{cases} 1 + \frac{32\mu^{3/2}}{3\pi} \sum C_{ij} \left[ -\frac{1}{(H_j + 1)^4} + \frac{3}{(H_j + 1)^{10}} \right] & i = j \\ \frac{32\mu^{3/2}}{3\pi} \sum C_{ij} \left[ -\frac{1}{(H_j + 1)^4} + \frac{3}{(H_j + 1)^{10}} \right] & i \neq j \end{cases}$$

在(A.2)式中， $\underline{\mathbf{J}}(\underline{\mathbf{H}}_n) \delta \underline{\mathbf{H}}$  與  $\underline{\mathbf{F}}(\underline{\mathbf{H}}_n)$  均須計算。 $\underline{\mathbf{F}}(\underline{\mathbf{H}}_n)$  式中的最後一項為

$$\begin{bmatrix} C_{11} & C_{12} & \Lambda & C_{1N} \\ C_{21} & C_{22} & \Lambda & C_{2N} \\ \mathbf{M} & \mathbf{M} & \mathbf{O} & \mathbf{M} \\ C_{N1} & C_{N2} & \Lambda & C_{NN} \end{bmatrix} \begin{bmatrix} \sigma(H_1) \\ \sigma(H_2) \\ \mathbf{M} \\ \sigma(H_n) \end{bmatrix}$$

其中，

$$\sigma(H_j) = \frac{1}{(H_j + 1)^3} - \frac{1}{(H_j + 1)^9}$$

如文中所式，此項可用 FFT 算出。

而  $\underline{\mathbf{J}}(\underline{\mathbf{H}}_n)\delta\underline{\mathbf{H}}$  式中的最後一項為  $\sum_i \sum_j \frac{F_i(H)}{\partial H_j} dH_i$ ，如下所示：

$$\begin{bmatrix} 1 & 0 & \Lambda & 0 \\ 0 & 1 & \Lambda & 0 \\ \text{M} & \text{M} & \text{O} & \text{M} \\ 0 & 0 & \Lambda & 1 \end{bmatrix} \begin{bmatrix} dH_1 \\ dH_2 \\ \vdots \\ dH_n \end{bmatrix} + \begin{bmatrix} C_{11} & C_{12} & \Lambda & C_{1N} \\ C_{21} & C_{22} & \Lambda & C_{2N} \\ \text{M} & \text{M} & \text{O} & \text{M} \\ C_{N1} & C_{N2} & \Lambda & C_{NN} \end{bmatrix} \begin{bmatrix} \sigma'(H_1)dH_1 \\ \sigma'(H_2)dH_2 \\ \vdots \\ \sigma'(H_n)dH_n \end{bmatrix}$$

$$\text{其中 } \sigma'(H_j) = -\frac{1}{(H_j + 1)^4} + \frac{3}{(H_j + 1)^{10}}$$

此項議可用 FFT 算出。

### Appendix B Five Diagonal Matrix

如果只考慮  $C_{0,0}$ 、 $C_{1,0}$  與  $C_{0,1}$ ，其他均設為 0，則原來的矩陣便成一個 five-diagonal 的矩陣。

例如，格點為  $4 \times 4$ ，如下圖：

	0	1	2	3											
0	×	×	×	×											
1	×	×	×	×											
2	×	×	×	×											
3	×	×	×	×											
4	1	0	×			×	×			×					
	1		×			×	×	×		×					
	2			×		×	×	×		×					
	3				×	×	×			×					
8	2	0				×				×	×			×	
	1						×			×	×	×		×	
	2							×		×	×	×		×	
	3								×	×	×			×	
12	3	0								×				×	×
	1										×			×	×
	2											×		×	×
	3												×	×	×

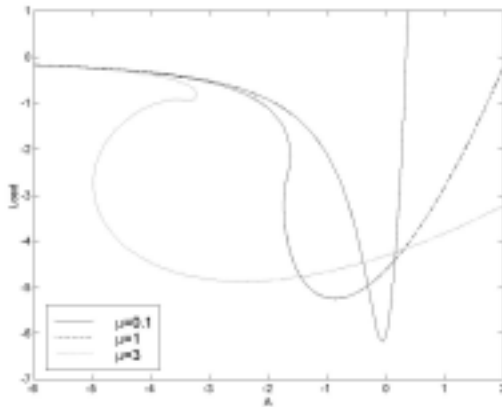
### Reference:

1. Miesbauer, O., Götzinger, M. and Perukert, W., “Molecular dynamics simulations of the contact between two NaCl nano-crystals: adhesion, jump to contact and indentation”, *Nanotechnology*, Vol. 14, pp. 371-376, 2003.
2. Johnson, K.L., Kendall, K. and Roberts, A.D., “Surface energy and the contact of elastic solids”, *Proc. R. Soc. London, A*. 324, pp. 301-313, 1971.
3. Derjaguin, B.V., Muller, V.M. and Toporov, Yu.P., “Effect of contact deformations on the adhesion of particles”, *Journal of Colloid and Interface Science*, Vol. 53, No. 2, pp. 314-326, 1973.
4. Maugis, D., “Adhesion of spheres: the JKR-DMT transition using Dugdale model”, *J. Coll. Interf. Sci.*, Vol. 150, pp.243-269, 1992.
5. Attard, P. and Parker, J.L., “Deformation and adhesion of elastic bodies in contact”, *Phys. Rev. A*, Vol. 46, No. 12, pp. 7975-7971, 1992.
6. Greenwood, J.A., “Adhesion of elastic spheres”, *Proc. R. Soc. London*, Vol. A 453, pp. 1277- 1297, 1997
7. Feng, J.Q., “Contact behavior of spherical elastic particles: a computational study of particle adhesion and deformations”, *Colloids and Surfaces A: Physicochemical and Engineering Aspects*, Vol. 172, pp. 175-198, 2000.
8. Mesarovic, Sinisa Dj. and Johnson, K.L., “Adhesive contact of elastic-plastic spheres”, *Journal of the Mechanics and Physics of Solids*, Vol. 48, No.10, pp. 2009-2033, 2000.
9. Johnson, K.L., *Contact Mechanics*, Cambridge University Press, Cambridge, 1985.
10. Mulvaney, D.J., Newland, D.E. and Gill, K.F., “A complete description of surface texture profiles”, *Wear*, Vol. 132, pp. 173-182, 1989.
11. Love, A.E.H., “The stress produced in a semi-infinite solid by pressure on part of the boundary”, *Phil. Trans. Roy. Soc. (London) Series A*, Vol. 228, pp.377-420, 1929.
12. Liu, S.B., Wang, Q. and Liu, G., “A versatile method of discrete convolution and FFT (DC-FFT) for contact analyses”, *Wear*, Vol. 243, No. 1-2, pp. 101-110, 2000.
13. Cooley, J.W. and Tukey, J.W., “An algorithm for the machine calculation of complex Fourier series”, *Math. Computat.*, Vol. 19, pp. 297-301, 1965.
14. Dembo, R.S., Stanley, C.E., Eisenstat, C. and Steihaug, T., “Inexact Newton methods”, *SIAM J. Numer. Anal.*, Vol. 19, No.2, pp. 400-408, 1982.
15. Van Der Vorst, H.A., “Bi-CGSTAB: a fast and smoothly converging variant of Bi-CG for the solution of nonsymmetric linear systems”, *SIAM J. Sci. Stat. Comput.*, Vol. 13, No. 2, pp. 631-644, 1992.
16. Benzi, M., “Preconditioning techniques for large linear systems: a survey”, *Journal of Computational Physics*, Vol. 182, pp.418-477, 2002.
17. Keller, H.B. “Numerical solution of bifurcation and non-linear eigenvalue

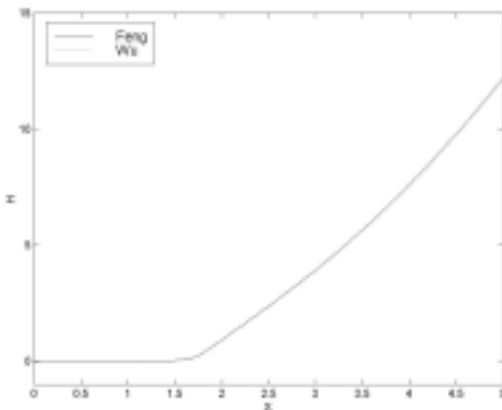
problems”, in: Rabinowitz, P. (ed.), Applications of Bifurcation Theory, pp. 359-384, Academic Press, New York, 1997.

Table 1. Computer time

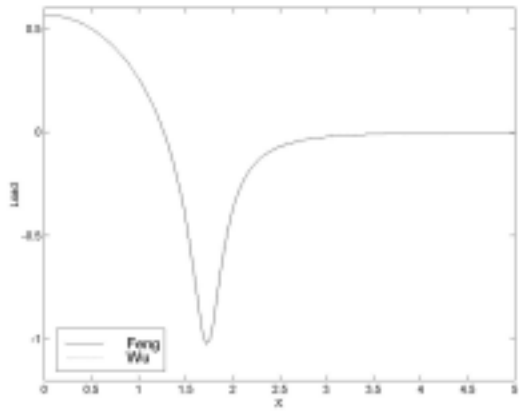
	condition	$\mu$		
		3	1	0.1
PC	no precondition	×	×	2h13m
IBM P690	no precondition	(diverge)	4h41m	57m
	serial	19h53m	3h2m	1h23m
	parallel 4 cpu	14h42m	2h8m	1h5m
	parallel 8 cpu	12h	1h22m	43m
	number of pts	316pts	180pts	160pts



圖一 , A vs. P for  $\mu = 1$ ,  $S = 3$



圖二 , A vs. P for  $\mu = 1$



圖三，  $A$  vs.  $P$  for  $S = 5$

### 計畫成果自評

本計畫如原先預期，完成直角座標上，球體接觸之吸引彈性力分析。在微機電與奈米系統上，均可應用。未來可推廣至其他形態，如橢球、粗糙表面之吸引接觸力分析。本研究結果，已投稿至國外 SCI 期刊，目前審稿中。